

НАЦИОНАЛЬНЫЙ ИССЛЕДОВАТЕЛЬСКИЙ ЯДЕРНЫЙ УНИВЕРСИТЕТ  
«МИФИ»

КАФЕДРА «Информатика и процессы управления» (№ 17)

Методические указания  
по курсу  
«Теория управления»

(для студентов групп К5-171,172)

Москва  
2009

## ТЕМА 2. СПОСОБЫ ОРГАНИЗАЦИИ УПРАВЛЕНИЯ И МАТЕМАТИЧЕСКОЕ ОПИСАНИЕ НЕПРЕРЫВНЫХ ОБЪЕКТОВ, ПРОЦЕССОВ И СИСТЕМ.

**Раздел 2.3. Математический аппарат теории управления.** В теории управления используется математический аппарат, основанный на двух различных подходах к описанию и исследованию линейных динамических систем (ЛДС).

Первый из них относится к операционным методам, при которых уравнения динамики ЛДС переводятся из области оригиналов в область изображений, в которой находится их решение. Затем происходит переход из области изображений в область оригиналов, т.е. во временную область. Этот подход характерен тем, что позволяет использовать частотные представления при исследовании систем.

Во втором подходе используется описание и исследование ЛДС непосредственно во временной области. Это, прежде всего, методы теории пространства состояний. Их достоинством является компактность данных и решения уравнений сложных систем с применением компьютеров.

*Общие положения.* Формирование уравнений динамики процессов, объектов и систем в пространстве состояний.

Пусть динамика процессов, объектов и систем описывается обыкновенным линейным дифференциальным уравнением  $n$ -го порядка вида

$$\begin{aligned} a_n \frac{d^n x(t)}{dt^n} + a_{n-1} \frac{d^{n-1} x(t)}{dt^{n-1}} + \dots + a_1 \frac{dx(t)}{dt} + a_0 x(t) = \\ b_m \frac{d^m g(t)}{dt^m} + b_{m-1} \frac{d^{m-1} g(t)}{dt^{m-1}} + \dots + b_1 \frac{dg(t)}{dt} + b_0 g(t); \end{aligned} \quad (2.1)$$

$$m \leq n$$

с начальными условиями

$$x(0), x'(0), \dots, x^{(n-1)}(0).$$

Применение операционных методов описания систем проводится в разделах 3.1 — 3.3.

Обратимся к рассмотрению формы записи уравнений динамики ЛДС в пространстве состояний.

ЛДС при скалярном режиме управления имеет вид



Рис. 2.1

Тогда уравнение состояния системы будет представлено в виде

$$\frac{d\bar{x}(t)}{dt} = A\bar{x}(t) + \bar{b}g(t), \quad (2.2)$$

а уравнение выхода

$$x(t) = \bar{c}^T \bar{x}(t) + dg(t). \quad (2.3)$$

Здесь

- $g(t)$  – входное воздействие;
- $x(t)$  – выходной сигнал системы;
- $\bar{x}(t)$  – вектор состояния размерности  $(n \times 1)$ ;
- $A$  – матрица размерности  $(n \times n)$ ;
- $\bar{b}$  – вектор размерности  $(n \times 1)$ ;
- $\bar{c}^T$  – вектор выхода размерности  $(1 \times n)$ ;
- $d$  – скаляр.

Вектор начальных условий  $\bar{x}(0) = \bar{x}_0$  размерности  $(n \times 1)$ .

2.3.1. Дифференциальное уравнение первого порядка. Уравнение первого порядка ( $n = 1$ ). Ему соответствует ЛДС



Рис. 2.2

$$T \frac{dx(t)}{dt} + x(t) = kg(t), \quad x(0) = x_0. \quad (2.4)$$

или

$$\frac{dx(t)}{dt} = -\frac{1}{T}x(t) + \frac{k}{T}g(t).$$

Основным способом формирования уравнений состояния является представление исходного дифференциального уравнения в виде схемы с использованием интегрирующих звеньев (интеграторов). Интегратор в общем виде представлен на рис. 2.3.



Рис. 2.3

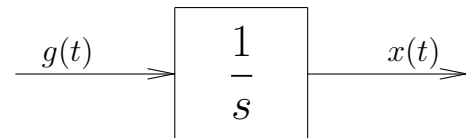


Рис. 2.4

Интегратор в терминах операционного исчисления принято условно изображать в виде оператора  $1/s$ , где  $s$  - оператор Лапласа, как показано на рис. 2.4.

Тогда дифференциальное уравнение (2.4) будет отражено в виде схемы:

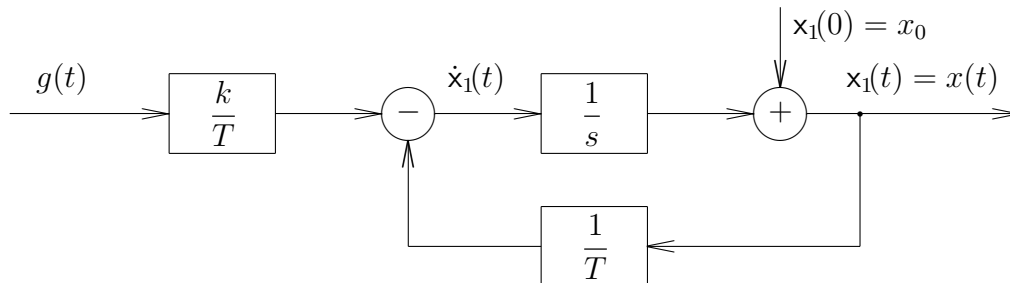


Рис. 2.5

где символ  $\ominus$  обозначает элемент вычитания, а символ  $\oplus$  - элемент суммирования.

Уравнения состояния в этом случае запишутся следующим образом:

$$\begin{aligned} \frac{dx_1(t)}{dt} &= Ax_1(t) + \bar{b}g(t); \\ x(t) &= \bar{c}^T x_1(t) + dg(t), \end{aligned} \quad (2.5)$$

где матрица  $A$  размерности  $(1 \times 1)$  равна  $a_{11} = -\frac{1}{T}$ ;

вектор  $\bar{b}$  размерности  $(1 \times 1)$  равен  $b_1 = \frac{k}{T}$ ;

вектор  $\bar{c}^T$  размерности  $(1 \times 1)$  равен  $c_1 = 1$ ;

скаляр  $d = 0$ .

2.3.2. Дифференциальное уравнение второго порядка. Дифференциальное уравнение второго порядка ( $n = 2$ ).

$$T_1 T_2 \frac{d^2 x(t)}{dt^2} + (T_1 + T_2) \frac{dx(t)}{dt} + x(t) = k g(t),$$

$$x(0) = x_0;$$

$$\left. \frac{dx(t)}{dt} \right|_{t=0} = \dot{x}_0.$$
(2.6)



Рис. 2.6

Выберем переменные состояния следующим образом:

$$\begin{aligned} x_1(t) &= x(t); \\ x_2(t) &= \frac{dx(t)}{dt}. \end{aligned}$$
(2.7)

Тогда уравнение (2.6) примет вид:

$$T_1 T_2 \frac{dx_2(t)}{dt} + (T_1 + T_2)x_2(t) + x_1(t) = k g(t).$$
(2.8)

В результате, с учётом соотношения (2.7) получим:

$$\begin{aligned} \frac{dx_2(t)}{dt} &= -\frac{(T_1 + T_2)}{T_1 T_2} x_2(t) - \frac{1}{T_1 T_2} x_1(t) + \frac{k}{T_1 T_2} g(t); \\ \frac{dx_1(t)}{dt} &= x_2(t). \end{aligned}$$
(2.9)

Тогда элементы матричных уравнений состояния (2.2), (2.3) примут следующий вид:

$$\bar{x}(t) = \begin{bmatrix} x_1(t) \\ x_2(t) \end{bmatrix}; \quad A = \begin{bmatrix} 0 & 1 \\ -\frac{1}{T_1 T_2} & -\left(\frac{1}{T_1} + \frac{1}{T_2}\right) \end{bmatrix};$$
(2.10)

Вектор начальных условий

$$\bar{x}(0) = \begin{bmatrix} x_1(0) \\ x_2(0) \end{bmatrix} = \begin{bmatrix} x(0) \\ \dot{x}(0) \end{bmatrix}; \quad \bar{b} = \begin{bmatrix} 0 \\ \frac{k}{T_1 T_2} \end{bmatrix}; \quad \bar{c}^T = [1 \quad 0]; \quad d = 0.$$

Структурная схема соответствующей ЛДС имеет вид

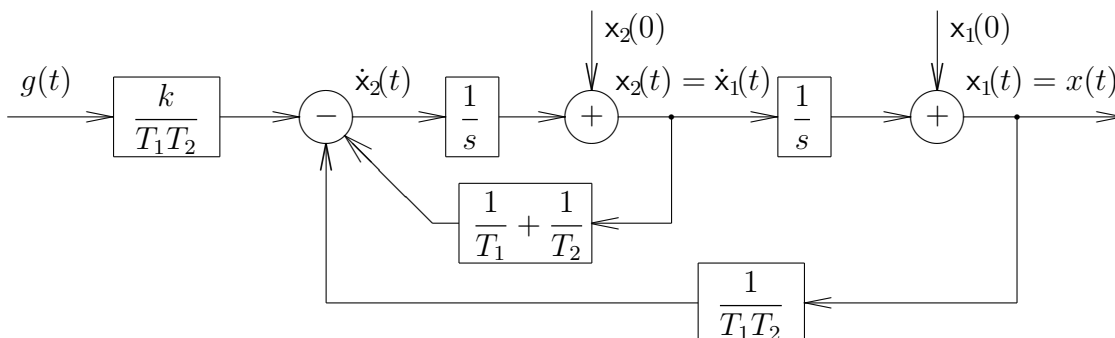


Рис. 2.7

2.3.3. Дифференциальное уравнение второго порядка со сложной правой частью. Дифференциальное уравнение второго порядка ( $m = 2$ ).

$$\begin{aligned} T_1 T_2 \frac{d^2 x(t)}{dt^2} + (T_1 + T_2) \frac{dx(t)}{dt} + x(t) &= k \left( g(t) + \tau^2 \frac{d^2 g(t)}{dt^2} \right), \\ x(0) &= x_0; \\ \left. \frac{dx(t)}{dt} \right|_{t=0} &= \dot{x}_0. \end{aligned} \quad (2.11)$$

При формировании схемы данной динамической системы учтём, что поскольку операции интегрирования и дифференцирования являются линейными, они обладают свойством коммутативности и их можно поменять местами. Тогда вместо исходного дифференциального уравнения (2.11) используем промежуточное уравнение, по форме записи совпадающее с предыдущим уравнением (2.6).

$$T_1 T_2 \frac{d^2 \tilde{x}(t)}{dt^2} + (T_1 + T_2) \frac{d\tilde{x}(t)}{dt} + \tilde{x}(t) = k g(t); \quad (2.12)$$

$$\begin{aligned} x_1(t) &= \tilde{x}(t); \\ x_2(t) &= \frac{d\tilde{x}(t)}{dt}; \end{aligned} \quad (2.13)$$

$$\bar{x}(t) = \begin{bmatrix} x_1(t) \\ x_2(t) \end{bmatrix};$$

$$\begin{aligned} \frac{dx_1(t)}{dt} &= x_2(t); \\ \frac{dx_2(t)}{dt} &= -\frac{1}{T_1 T_2} x_1(t) - \left( \frac{1}{T_1} + \frac{1}{T_2} \right) x_2(t) + \frac{k}{T_1 T_2} g(t). \end{aligned} \quad (2.14)$$

В результате получим матрицу и векторы уравнения состояния:

$$A = \begin{bmatrix} 0 & 1 \\ -\frac{1}{T_1 T_2} & -\left( \frac{1}{T_1} + \frac{1}{T_2} \right) \end{bmatrix}; \quad \bar{b} = \begin{bmatrix} 0 \\ \frac{k}{T_1 T_2} \end{bmatrix}; \quad \bar{c}^T = [1 \quad 0]; \quad \tilde{d} = 0. \quad (2.15)$$

Для получения нужного выходного сигнала  $x(t)$  имеющийся промежуточный сигнал далее необходимо дважды подвергнуть операции дифференцирования в соответствии с правой частью уравнения (2.11) и просуммировать. Тогда получим:

$$x(t) = \tilde{x}(t) + \tau^2 \frac{d^2 \tilde{x}(t)}{dt^2}. \quad (2.16)$$

С учётом соотношения (2.13) найдём:

$$x(t) = x_1(t) + \tau^2 \frac{dx_2(t)}{dt}. \quad (2.17)$$

Используя последнее уравнение системы (2.14), запишем искомый выходной сигнал  $x(t)$  с использованием переменных состояния:

$$x(t) = x_1(t) + \tau^2 \left( \frac{k}{T_1 T_2} g(t) - \frac{1}{T_1 T_2} x_1(t) - \left( \frac{1}{T_1} + \frac{1}{T_2} \right) x_2(t) \right). \quad (2.18)$$

В результате получим уравнение выхода в виде:

$$\begin{aligned} x(t) &= \bar{c}^T \bar{x}(t) + d g(t), \quad \text{где} \\ \bar{c}^T &= \left[ \left( 1 - \frac{\tau^2}{T_1 T_2} \right) \quad -\tau^2 \left( \frac{1}{T_1} + \frac{1}{T_2} \right) \right]; \\ d &= \frac{k \tau^2}{T_1 T_2}. \end{aligned} \quad (2.19)$$

Соответствующая схема линейной динамической системы в пространстве состояний примет вид:

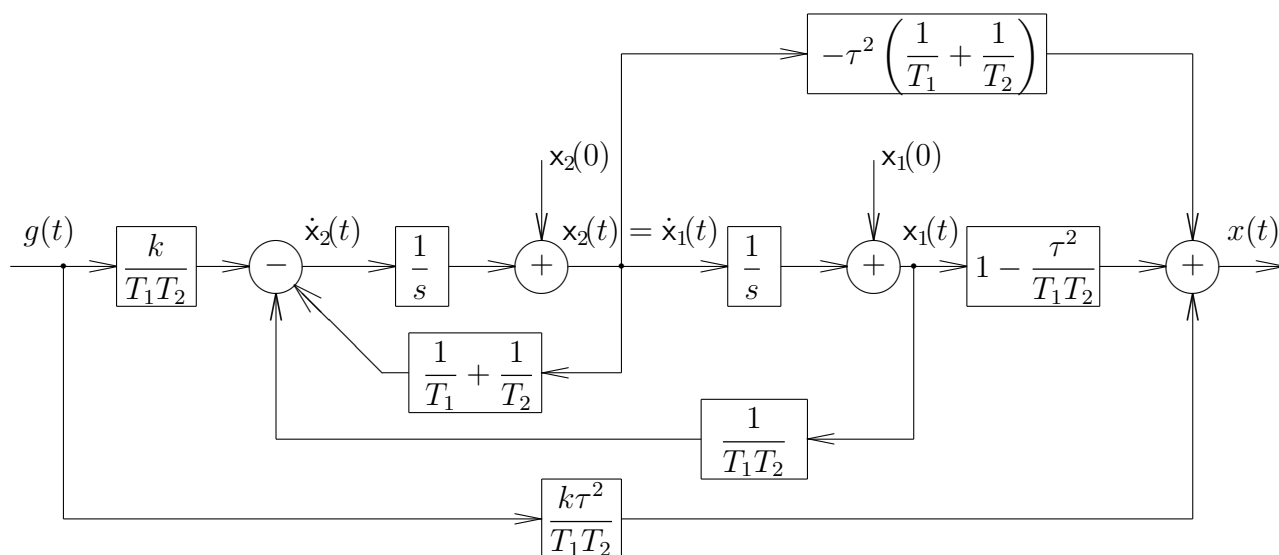


Рис. 2.8

**ТЕМА 3. ПЕРЕДАТОЧНЫЕ, ПЕРЕХОДНЫЕ, ВЕСОВЫЕ ФУНКЦИИ И ЧАСТОТНЫЕ  
ХАРАКТЕРИСТИКИ ЛИНЕЙНЫХ ДИНАМИЧЕСКИХ СИСТЕМ И ТИПОВЫХ ЗВЕНЬЕВ.**

**Раздел 3.1. Передаточные функции.**

*Общие положения.* Переход к описанию линейных динамических систем из временной области в область изображений с использованием методов операционного исчисления на основе преобразования Лапласа позволяет вводить и использовать передаточные функции систем.

Среди всего многообразия передаточных функций могут быть выделены наиболее часто используемые функции, получившие название типовых звеньев. Из типовых звеньев формируется большинство передаточных функций объектов, процессов и систем управления.

*Подраздел 3.1.1.* Пусть ЛДС описывается дифференциальным уравнением  $n$ -го порядка (2.1). Тогда в области изображений при нулевых начальных условиях получим

$$X(s) = W(s)G(s), \quad (3.1)$$

где  $W(s)$  – передаточная функция, равная

$$W(s) = \frac{M(s)}{D(s)} = \frac{b_ms^m + b_{m-1}s^{m-1} + \dots + b_1s + b_0}{a_ns^n + a_{n-1}s^{n-1} + \dots + a_1s + a_0}. \quad (3.2)$$

*Подраздел 3.1.2.* Используя методы теории пространства состояний, можно получить иное выражение для передаточной функции ЛДС.

В этом случае передаточная функция линейной динамической системы, представленной на рис. 2.1, описывается уравнениями вида (2.2) и (2.3). Применим к соотношениям (2.2), (2.3) преобразование Лапласа:

$$\begin{aligned} s\bar{x}(s) - \bar{x}_0 &= A\bar{x}(s) + \bar{b}G(s); \\ X(s) &= \bar{c}^T\bar{x}(s) + dG(s). \end{aligned} \quad (3.3)$$

Тогда, преобразуя первое из уравнений к виду

$$(sI - A)\bar{x}(s) = \bar{b}G(s) + \bar{x}_0, \quad (3.4)$$

где  $I$  – единичная диагональная матрица,

и используя уравнение выхода, получим

$$X(s) = \bar{c}^T(sI - A)^{-1}\bar{x}_0 + (\bar{c}^T(sI - A)^{-1}\bar{b} + d)G(s). \quad (3.5)$$

При нулевых начальных условиях данное соотношение приводит к следующему выражению для передаточной функции

$$W(s) = \frac{X(s)}{G(s)} \Big|_{\bar{x}_0=0} = \bar{c}^T(sI - A)^{-1}\bar{b} + d. \quad (3.6)$$

Формула (3.6) позволяет находить передаточные функции ЛДС, описание которых представлено в пространстве состояний.

*Подраздел 3.1.3.* Примеры нахождения передаточных функций ЛДС.

Для ЛДС, рассмотренной в подразделе 2.3.1, применение преобразования Лапласа к дифференциальному уравнению первого порядка (2.4) при нулевых начальных условиях даёт

$$TsX(s) + X(s) = kG(s),$$

отсюда получим

$$W(s) = \frac{X(s)}{G(s)} = \frac{k}{(Ts + 1)}. \quad (3.7)$$

Для ЛДС, рассмотренной в подразделе 2.3.2, применение преобразования Лапласа к дифференциальному уравнению второго порядка (2.6) при нулевых начальных условиях даёт

$$T_1T_2s^2X(s) + (T_1 + T_2)sX(s) + X(s) = kG(s),$$

отсюда получим

$$W(s) = \frac{X(s)}{G(s)} = \frac{k}{(T_1 s + 1)(T_2 s + 1)}. \quad (3.8)$$

Для ЛДС, рассмотренной в подразделе 2.3.3, применение преобразования Лапласа к уравнению (2.11) при нулевых начальных условиях даёт

$$(T_1 T_2 s^2 + (T_1 + T_2)s + 1) X(s) = k (1 + \tau^2 s^2) G(s),$$

отсюда получим

$$W(s) = \frac{X(s)}{G(s)} = \frac{k(1 + \tau^2 s^2)}{(T_1 s + 1)(T_2 s + 1)}. \quad (3.9)$$

**Раздел 3.2. Переходные функции.** Используя известную передаточную функцию  $W(s)$  можно определить переходную функцию, которая будет равна

$$h(t) = L^{-1} \left[ \frac{W(s)}{s} \right]. \quad (3.10)$$

Например, для ЛДС, рассмотренной в подразделе 3.1.3, с передаточной функцией вида (3.7) переходная функция равна

$$h(t) = L^{-1} \left[ \frac{k}{s(Ts + 1)} \right] = k \left( 1 - e^{-t/T} \right). \quad (3.11)$$

### Раздел 3.3. Весовые (импульсные переходные) функции.

*Подраздел 3.3.1.* Для ЛДС с известной передаточной функцией  $W(s)$  весовая функция определяется согласно выражению

$$w(t) = L^{-1} [W(s)]. \quad (3.12)$$

Например, для ЛДС, рассмотренной в подразделе 3.1.3, с передаточной функцией вида (3.7) весовая функция равна

$$w(t) = L^{-1} \left[ \frac{k}{(Ts + 1)} \right] = \frac{k}{T} e^{-t/T}. \quad (3.13)$$

*Подраздел 3.3.2.* Используя весовую функцию  $w(t)$  можно определить реакцию ЛДС на входное воздействие.

Поскольку в области изображений имеет место соотношение

$$X(s) = W(s)G(s), \quad \text{то} \quad x(t) = L^{-1} [X(s)]. \quad (3.14)$$

В области оригиналов ему соответствует свёртка

$$x(t) = \int_0^\infty w(t - \tau)g(\tau)d\tau = \int_0^\infty g(t - \tau)w(\tau)d\tau, \quad (3.15)$$

где  $w(\tau) \equiv 0$  при  $\tau < 0$  по условиям физической реализуемости системы.

Выражение (3.15) даёт возможность определять реакцию ЛДС на задающее воздействие  $g(t)$ , используя непосредственно весовую функцию.

Пусть  $g(t)$  – единичное ступенчатое воздействие. Определим реакцию ЛДС из подраздела 3.1.3, передаточная функция которой имеет вид (3.8), на это воздействие при нулевых начальных условиях.

В этом случае

$$w(t) = \frac{k}{T_1 - T_2} \left( e^{-t/T_1} - e^{-t/T_2} \right) \quad \text{при } T_1 \neq T_2.$$



Тогда

$$\begin{aligned}
 x(t) &= \int_0^\infty w(\tau)g(t-\tau)d\tau = \int_0^t w(\tau)g(t-\tau)d\tau = \\
 &= \int_0^t \frac{k}{T_1 - T_2} \left( e^{-\tau/T_1} - e^{-\tau/T_2} \right) d\tau = \\
 &= k \left( 1 + \frac{T_1}{T_2 - T_1} e^{-t/T_1} + \frac{T_2}{T_1 - T_2} e^{-t/T_2} \right).
 \end{aligned} \tag{3.16}$$

Отметим, что в этом случае полученная реакция системы (3.16) совпадает с переходной функцией  $h(t)$ .

### Раздел 3.5. Амплитудно-фазовые и логарифмические частотные характеристики.

Амплитудно-фазовая частотная характеристика представляет собой годограф

$$W(j\omega) = P(\omega) + jQ(\omega) \tag{3.17}$$

на комплексной плоскости при изменении частоты  $\omega$  в диапазоне от нуля до бесконечности.

Соотношение для частотной характеристики можно получить заменив переменную  $s$  на  $j\omega$  в выражении для передаточной функции

$$W(j\omega) = W(s) \Big|_{s=j\omega}.$$

При описании ЛДС в пространстве состояний передаточная функция определяется согласно (3.6), тогда выражение для частотной характеристики ЛДС будет иметь вид

$$W(j\omega) = W(s) \Big|_{s=j\omega} = \bar{c}^T (j\omega I - A)^{-1} \bar{b} + d. \tag{3.18}$$

Логарифмическая амплитудная частотная характеристика равна

$$L_m(\omega), \text{дБ} = 20 \lg |W(j\omega)|. \tag{3.19}$$

Логарифмическая фазовая частотная характеристика равна

$$\varphi(\omega), \text{град} = \arg W(j\omega). \tag{3.20}$$

Здесь частота  $\omega$  измеряется в декадах.

## ТЕМА 4. УСТОЙЧИВОСТЬ ЛИНЕЙНЫХ ДИНАМИЧЕСКИХ СИСТЕМ.

**Раздел 4.1. Понятие устойчивости линейных динамических систем.** Необходимым и достаточным условием устойчивости невозмущённого движения линейных динамических систем является отрицательность вещественных частей всех корней характеристического уравнения

$$\operatorname{Re} \lambda_i < 0; \quad i = 1, \dots, n.$$

Если ЛДС описывается во временной области уравнениями состояния (2.1), то характеристическое уравнение примет вид

$$|A - \lambda I| = 0, \quad (4.1)$$

и имеет  $n$  корней  $\lambda_i$ ;  $i = 1, \dots, n$ . В данном случае корни будут являться собственными значениями матрицы  $A$ . Применение операторных методов анализа ЛДС сводится к использованию передаточной функции  $W(s)$  вида (3.2). Приравняв знаменатель передаточной функции  $W(s)$  к нулю, также получим характеристическое уравнение

$$D(s) = a_n s^n + a_{n-1} s^{n-1} + \dots + a_1 s + a_0 = 0, \quad (4.2)$$

имеющее  $n$  корней  $s_i = \lambda_i$ ;  $i = 1, \dots, n$ .

Определение корней характеристического уравнения вида (4.1) может быть сведено к решению задачи отыскания собственных значений матрицы  $A$  с помощью вычислительных процедур. Данный способ требует применения специализированного прикладного программного обеспечения, имеющегося, как правило, в составе интегрированных пакетов математического назначения.

При использовании характеристического уравнения вида (4.2) для определения законов его корней могут быть применены алгебраические критерии.

**Раздел 4.2. Алгебраические критерии устойчивости.**

*Определение устойчивости системы с известным характеристическим уравнением.* Определим устойчивость ЛДС, охваченной отрицательной обратной связью, и имеющей в разомкнутом состоянии функцию:

$$\text{а)} \quad W(s) = \frac{k}{s(T_1 s + 1)(T_2 - 1)}, \quad (4.3)$$

$$\text{б)} \quad W(s) = \frac{k}{s(T_1 s + 1)(T_2 + 1)} \quad (4.4)$$

при  $T_1 = 0.1$ ,  $T_2 = 0.2$ . Характеристическое уравнение замкнутой системы равно

$$1 + W(s) = 0. \quad (4.5)$$

Тогда с учётом отношения  $W(s) = \frac{M(s)}{D(s)}$  оно может быть представлено в виде

$$D(s) + M(s) = 0. \quad (4.6)$$

В результате получим следующие характеристические уравнения:

$$\text{а)} \quad s^3 + 5s^2 - 50s + 50k = 0; \quad (4.7)$$

$$\text{б)} \quad s^3 + 15s^2 + 50s + 50k = 0. \quad (4.8)$$

В первом случае не все коэффициенты уравнения положительны. Поэтому среди его корней имеются положительные (критерий Стодолы). В этом случае система неустойчива при любых  $k$ .

Во втором случае применение критерия Рауса даёт следующую таблицу

Номер строки	Номер столбца	
	1	2
1	1	50
2	15	$50k$
3	$50 - 3.33k$	0
4	$50k$	0

При значениях  $0 < k < 15$  все коэффициенты первого столбца положительны, система устойчива. При  $k > 15$  система неустойчива.

Аналогичный результат даёт применение критерия Гурвица:

$$\Delta_1 = 15 > 0;$$

$$\Delta_2 = \begin{vmatrix} 15 & 1 \\ 50k & 50 \end{vmatrix} = 750 - 50k > 0;$$

$$\Delta_3 = \begin{vmatrix} 15 & 1 & 0 \\ 50k & 50 & 15 \\ 0 & 0 & 50k \end{vmatrix} = 37500k > 0.$$

Недостатком алгебраических критериев является их неспособность определения степени устойчивости ЛДС. Поэтому на практике получили распространение частотные методы анализа устойчивости. Эти методы позволяют оценивать устойчивость замкнутых ЛДС по их частотным характеристикам  $W(j\omega)$  в разомкнутом состоянии.

#### Раздел 4.3. Частотные критерии устойчивости. Критерий Найквиста.

*Анализ устойчивости замкнутых ЛДС частотными методами.* Пусть передаточная функция ЛДС в разомкнутом состоянии имеет вид

$$W(s) = \frac{k}{(T_1s + 1)(T_2s + 1)(T_3s + 1)}. \quad (4.9)$$

Проанализируем её устойчивость в замкнутом состоянии, используя критерий Найквиста. Амплитудно-фазовая частотная характеристика равна

$$W(s) \Big|_{s=j\omega} = W(j\omega) = P(\omega) + jQ(\omega). \quad (4.10)$$

При  $k = 20$ ;  $T_1 = 0.1$ ;  $T_2 = 0.2$ ;  $T_3 = 0.3$  она примет вид, показанный на рис. 4.1.

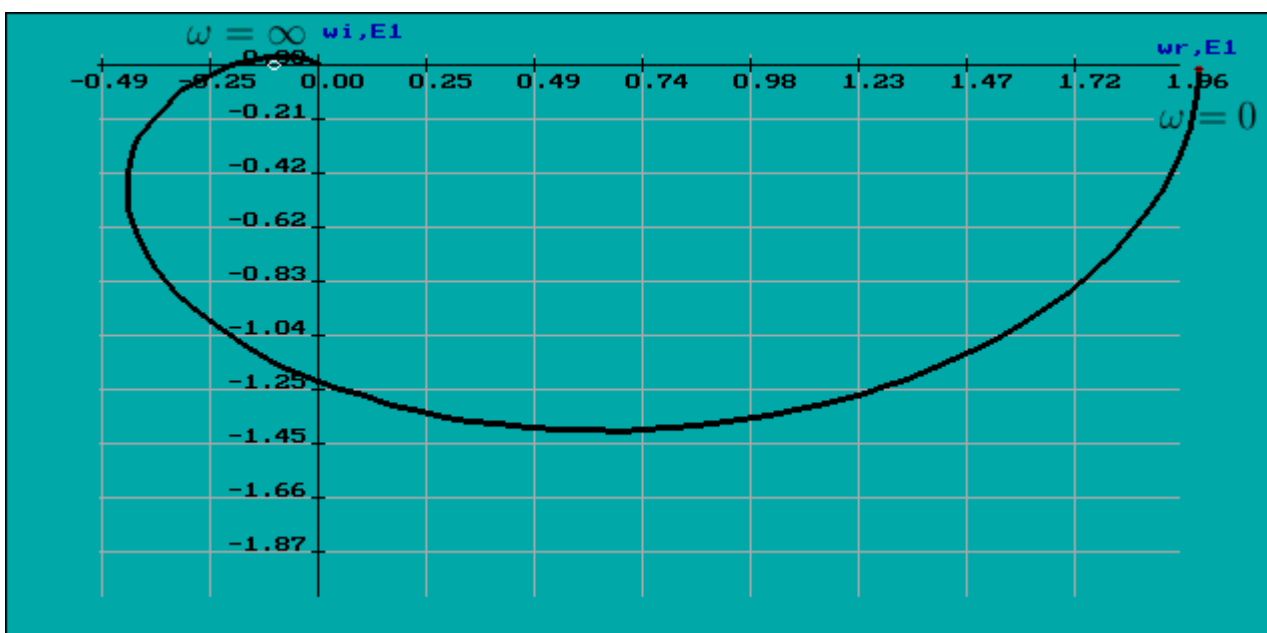


Рис. 4.1 (Белым кружком на рисунках выделена точка с координатами  $(-1; j0)$ .)

Здесь число пересечений годографом отрезка действительной оси  $(-\infty; -1)$  равно  $-1$ . Поскольку  $-1 \neq 0/2$ , критерий не выполняется и система в замкнутом состоянии неустойчива.

Снизим коэффициент усиления до  $k = 5$ .

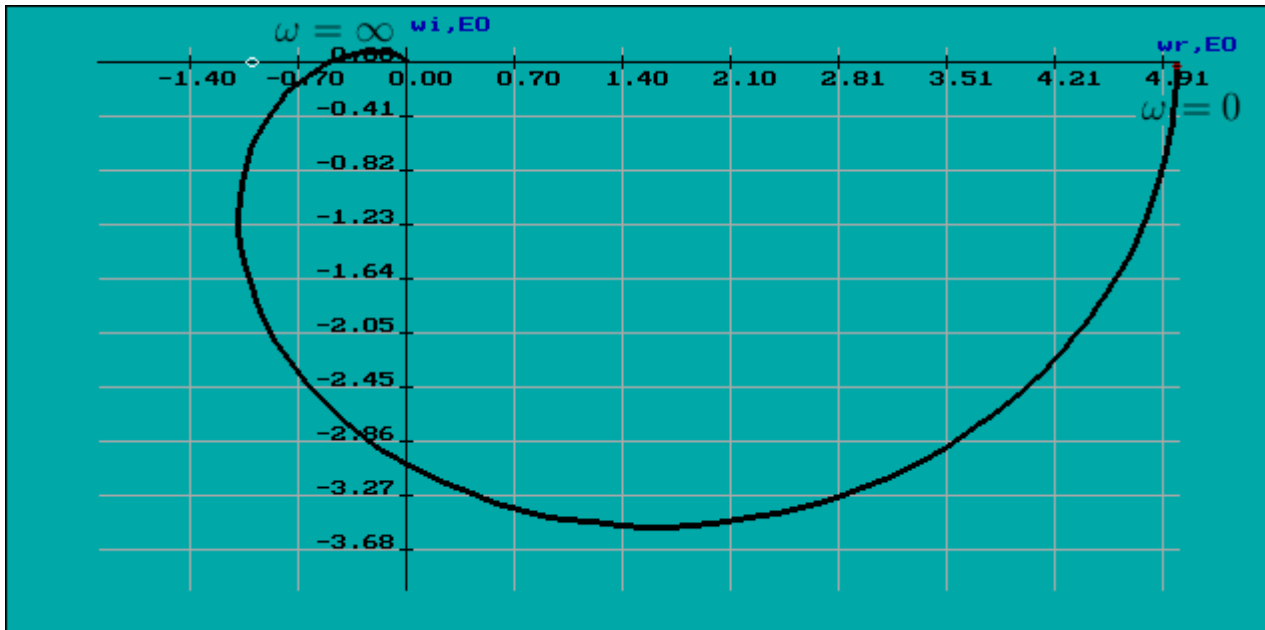


Рис. 4.2

Пересечения годографом отрезка  $(-\infty; -1)$  отсутствуют. Поэтому  $0 \neq 0/2$ , критерий выполняется и, следовательно, система (4.9) устойчива в замкнутом состоянии.

Аналогичные результаты получаются при использовании логарифмических амплитудно-фазовых частотных характеристик. При  $k = 20$

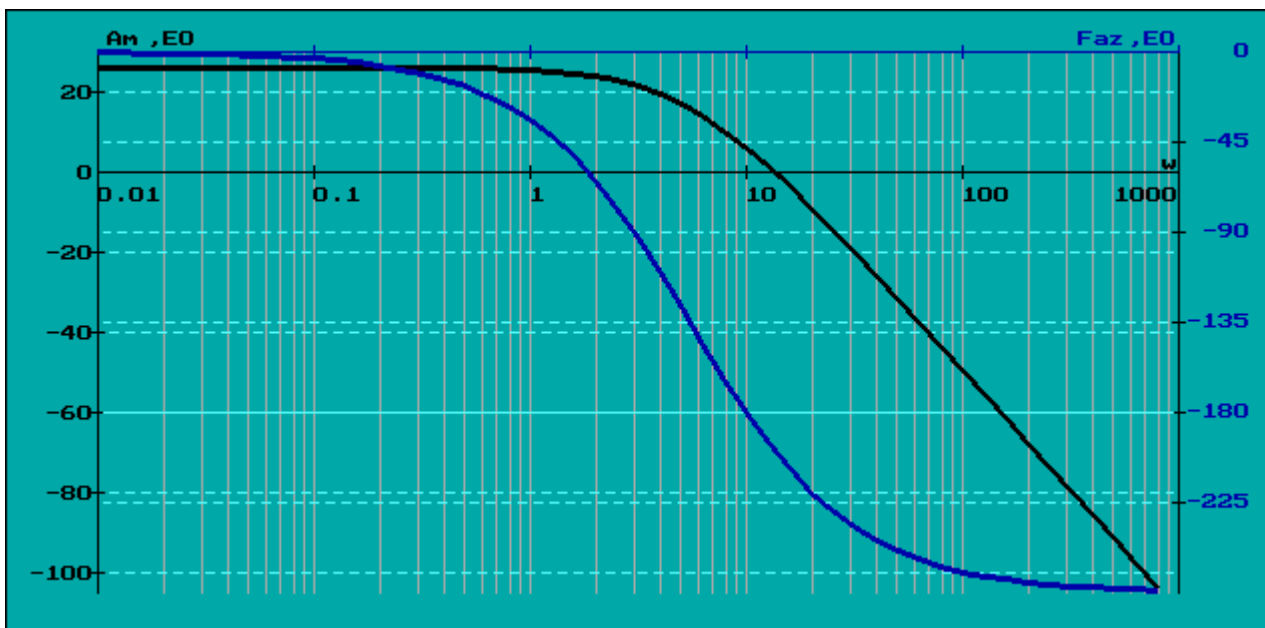


Рис. 4.3

замкнутая система неустойчива, т.к. фазовая характеристика  $\varphi(\omega)$  на рис. 4.3 пересекает прямую  $-180^\circ$ , где  $L(\omega) > 0$ .

При  $k = 5$  (рис. 4.4)

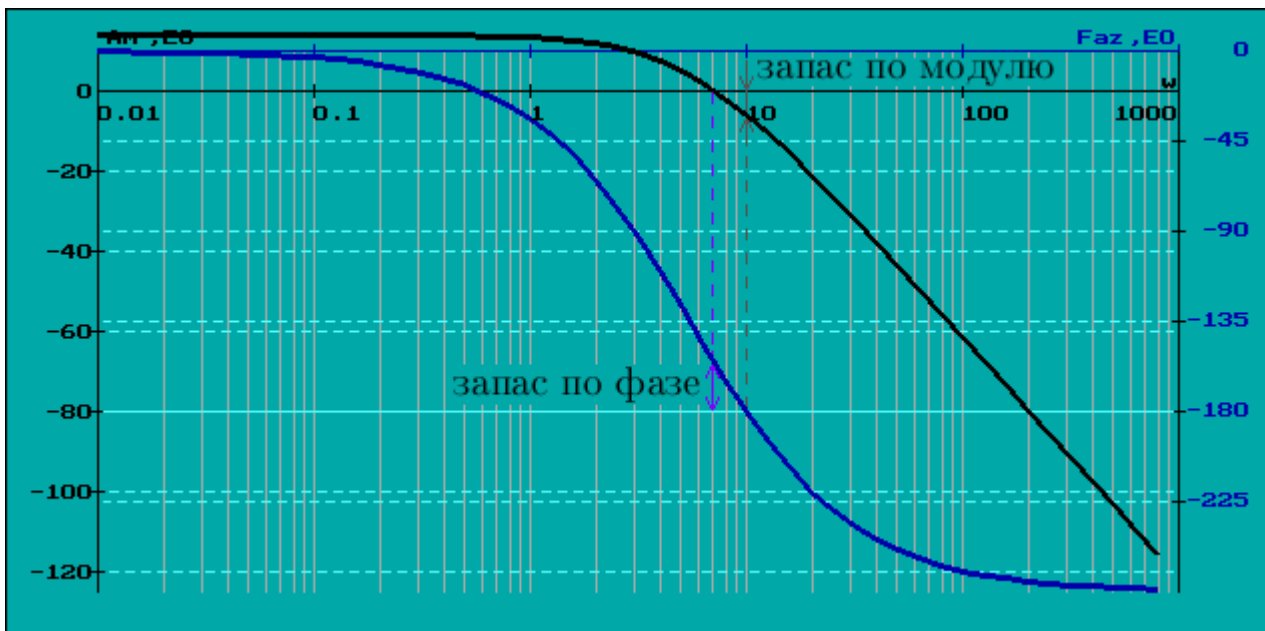


Рис. 4.4

система устойчива и имеет запас по фазе  $30^\circ$  и запас по модулю 5 Дб.

Анализ устойчивости замкнутой ЛДС, неустойчивой в разомкнутом состоянии. Возьмём передаточную функцию ЛДС в разомкнутом состоянии вида

$$W(s) = \frac{k}{s(Ts - 1)}. \quad (4.11)$$

Поскольку здесь один из корней  $\lambda = 1$  положителен и находится в правой полуплоскости, система вида (4.11) неустойчива в разомкнутом состоянии.

При  $k = 1$ ;  $T = 0.9$ ; частотный годограф на комплексной плоскости примет вид, показанный на рис. 4.5.

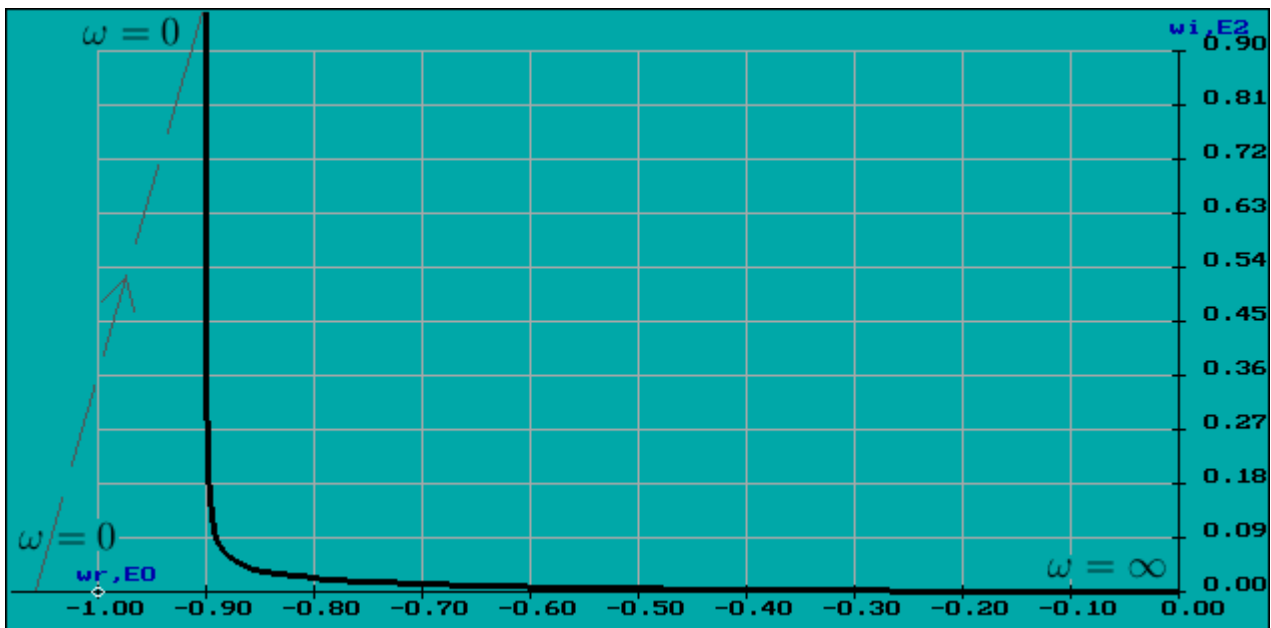


Рис. 4.5

Годограф при  $\omega = 0$  необходимо доопределить. Поэтому число пересечений им отрезка  $(-\infty; -1)$  равно  $-1/2$ . В данном случае  $-1/2 \neq 1/2$ , критерий не выполняется и система в замкнутом состоянии будет также неустойчива при любых  $k$  и  $T$ .

При использовании логорифмических частотных характеристик получим зависимости, показанные на рис. 4.6.

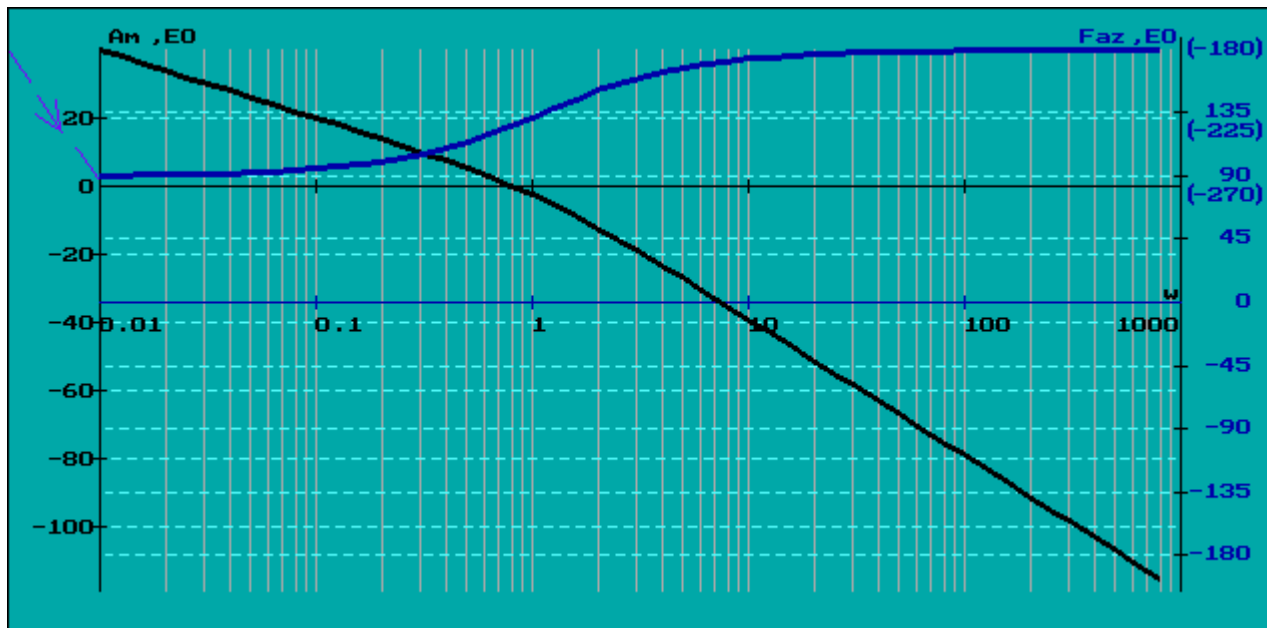


Рис. 4.6

Здесь с учётом доопределения годографа при  $\omega = 0$  получим число пересечений фазовой характеристикой  $\varphi(\omega)$  прямой  $-180^\circ$  также  $-1/2$ . Поэтому  $-1/2 \neq 1/2$ , система неустойчива в замкнутом состоянии.

## ТЕМА 5. ПОКАЗАТЕЛИ КАЧЕСТВА ПРОЦЕССОВ УПРАВЛЕНИЯ.

**Раздел 5.1. Время регулирования и перерегулирование.** Показатели качества характеризуют поведение выходной координаты  $x(t)$  в течение переходного процесса.

При использовании единичного ступенчатого задающего воздействия могут быть определены следующие показатели качества:

$t_p$  – время регулирования и  
 $\sigma_{max}$  – перерегулирование.

Используются также показатели, основанные на расположении полюсов (корней)  $\lambda = \alpha + j\omega$  замкнутой системы:

степень устойчивости  $\eta = |\alpha|_{min}$  ,

колебательность  $\mu = \frac{\omega}{\alpha}$  ,

логарифмический декремент затухания  $d = \frac{2\pi\alpha}{\omega}$  .

В тех случаях, когда имеет место доминирующий полюс,  $t_p \approx \frac{3}{|\lambda|_{min}}$  .

На величину  $\sigma_{max}$  оказывают большое влияние имеющиеся запасы по фазе  $\gamma_c$  и модулю  $h_m$  . С их падением величина  $\sigma_{max}$  возрастает.

## ТЕМА 6. ПОКАЗАТЕЛИ ТОЧНОСТИ ПРОЦЕССОВ УПРАВЛЕНИЯ.

Показатели точности характеризуют поведение системы в установившемся режиме.

**Раздел 6.1. Коэффициенты добротности, статизм и астатизм.** В качестве показателей точности могут быть использованы коэффициенты добротности системы

$$\begin{aligned} k_p & - \text{ по положению,} \\ k_v & - \text{ по скорости,} \\ k_a & - \text{ по ускорению.} \end{aligned}$$

Тогда при  $t > t_p$  для статической системы при ступенчатом воздействии вида  $g(t) = g_0[1](t)$  величина ошибки равна

$$e(t) = \frac{g_0}{1 + k_p} .$$

Для системы с астатизмом первого порядка при линейно-нарастающем задающем воздействии вида  $g(t) = g_1 t$

$$e(t) = \frac{g_1}{k_v} .$$

Для системы с астатизмом второго порядка при параболическом задающем воздействии вида  $g(t) = \frac{g_2 t^2}{2}$

$$e(t) = \frac{g_2}{k_a} .$$

**Раздел 6.2. Коэффициенты ошибок.** При различных задающих воздействиях  $g(t)$  в установившемся режиме ошибка  $e(t)$  может быть представлена в виде

$$e(t) = C_0 g(t) + \frac{C_1}{1!} \cdot \frac{dg(t)}{dt} + \frac{C_2}{2!} \cdot \frac{d^2 g(t)}{dt^2} + \dots , \quad (6.1)$$

где  $C_0, C_1, C_2, \dots$  – коэффициенты ошибок.

Данные показатели точности могут быть вычислены по формуле

$$C_n = \left. \frac{d^n \Phi_e(s)}{ds^n} \right|_{s=0} ; \quad n = 0, 1, 2, \dots , \quad (6.2)$$

где  $\Phi_e(s)$  – передаточная функция замкнутой системы относительно ошибки.

Здесь имеют место соотношения:

$$k_p = \frac{1}{C_0} , \quad k_v = \frac{1}{C_1} , \quad k_a = \frac{1}{C_2} . \quad (6.3)$$



## ТЕМА 7. СИНТЕЗ ЗАКОНОВ УПРАВЛЕНИЯ ЧАСТОТНЫМИ МЕТОДАМИ.

**Общие положения.** В тех случаях, когда управляемая система относится к классу непрерывных динамических систем, закон управления в скалярном режиме управления может быть представлен в виде соотношения

$$u(t) = C[e(t)] , \quad (7.1)$$

где сигнал ошибки  $e(t) = g(t) - x(t)$ ,  $u(t)$  – управляющее воздействие, а оператор  $C[\cdot]$  осуществляет требуемое функциональное преобразование. Оно может быть непрерывным или дискретным, линейным или нелинейным, с постоянными или переменными параметрами и т.д.

Если закон управления является линейным и непрерывным, то вся система управления в целом будет также относиться к классу непрерывных динамических систем.

Закон управления обычно выбирается так, чтобы обеспечить придание системе требуемых динамических свойств, задаваемых, как правило, с использованием показателей качества и точности.

Рассмотрим частотные методы синтеза, применяемые в случае стационарных непрерывных линейных динамических систем.

**Раздел 7.1. Формирование желаемой частотной характеристики разомкнутой системы по заданным значениям показателей качества и точности.** В инженерной практике большое распространение получили частотные методы синтеза. При их использовании вначале необходимо сформировать желаемые частотные характеристики системы в низкочастотной и среднечастотной областях.

Обычно построение желаемой частотной характеристики начинается с определения частоты среза  $\omega_c$ . При заданном времени регулирования  $t_p$  имеем

$$\omega_c \geq \frac{2\pi}{t_p} . \quad (7.2)$$

Исходя из условия обеспечения запасов устойчивости, участок частотной характеристики на частоте среза должен иметь наклон  $-20 \text{ дБ/дек}$ . При этом, чем шире частотный диапазон этого участка, тем больше будут запасы.

С целью достижения хороших динамических свойств системы необходимо в среднечастотной части характеристики иметь участок с наклоном  $-40 \text{ дБ/дек}$ , сопрягаемый с построенным ранее участком на частоте  $\omega_2$ . Таким образом на частоте  $\omega < \omega_2$  частотная характеристика будет иметь наклон  $-40 \text{ дБ/дек}$ . Этот участок будет простирается до частоты  $\omega_1$ , ниже которой будет переходить в участок с наклоном  $-20 \text{ дБ/дек}$ , чтобы в системе обеспечивался астатизм первого порядка.

Построенные таким образом логарифмические частотные характеристики приведены на рис. 7.1.

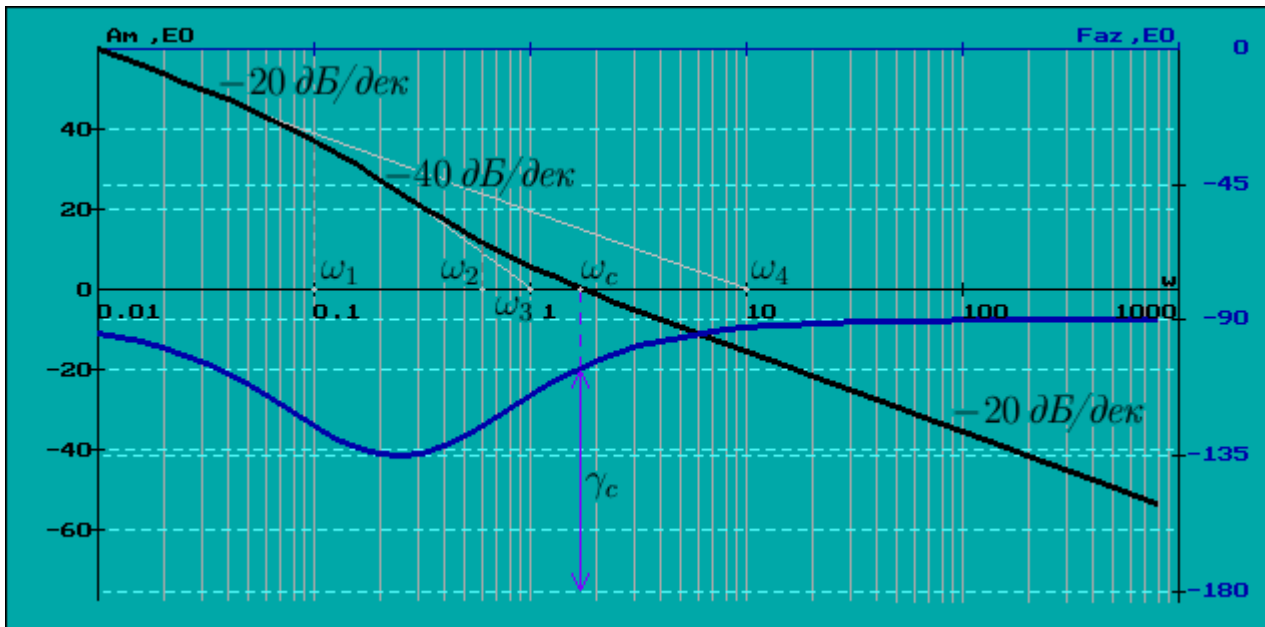


Рис. 7.1

Здесь следует отметить также точку пересечения низкочастотной асимптоты  $-20 \text{ dB/дек}$  с осью частот – это значение добротности системы по скорости  $\omega_4 = k_v$ , точку пересечения среднечастотной асимптоты  $-40 \text{ dB/дек}$  с осью частот –  $\omega_3 = \sqrt{k_a}$ . Здесь же показан запас по фазе  $\gamma_c$ , влияющий на перерегулирование  $\sigma_{max}$ .

Данной частотной характеристики соответствует передаточная функция

$$W(s) = \frac{k(T_2 s + 1)}{s(T_1 s + 1)}, \quad (7.3)$$

где  $k = k_v$ ;  $T_1 = \frac{1}{\omega_1}$ ;  $T_2 = \frac{1}{\omega_2}$ .

Замыкание этой системы единичной обратной связью позволяет вычислить точное значение величин  $t_p$  и  $\sigma_{max}$ . Для их нахождения можно использовать вычислительный модуль.

[illegible]